

· 论著 ·

文章编号: 1007-8738(2013)02-0154-03

沉默激酶功能区受体抑制前列腺癌 PC-3 细胞的裸鼠体内成瘤能力

谢国旗¹, 易伟国¹, 刘新¹, 郭照静², 缪应业^{2*}(中国人民解放军第 152 中心医院: ¹医务处; ²检验科, 河南 平顶山 467000)

[摘要] 目的 研究激酶功能区受体(KDR)基因表达沉默后对前列腺癌 PC-3 细胞裸鼠体内成瘤能力的影响。方法 将 15 只 5 周龄 BALB/c 雄性裸鼠随机分为干扰组、阴性质粒组和未转染组, 每组 5 只。分别接种构建的 pSilencer 3.1-KDR siRNA 表达质粒转染 PC-3 细胞、阴性对照质粒 pSilencer3.1-NC 转染 PC-3 细胞以及未转染的 PC-3 细胞于裸鼠皮下; 观察各组 PC-3 细胞在裸鼠体内成瘤率、瘤体生长速度以及平均瘤质量等方面的变化, RT-PCR 和 Western blot 技术检测瘤体 KDR 基因和蛋白表达。结果 pSilencer3.1-KDR 质粒转染组的裸鼠瘤体生长速度明显慢于未转染组和 pSilencer3.1-NC 质粒转染组; 与未转染组和 pSilencer3.1-NC 组相比, pSilencer3.1-KDR 组肿瘤的生长受到明显抑制, 平均体积较小(0.28 cm^3 vs 0.721 cm^3 , 0.715 cm^3 , $P < 0.01$), 平均瘤质量较轻(0.14 g vs 0.648 g , 0.635 g , $P < 0.01$)。裸鼠肿瘤组织中 KDR mRNA 和蛋白的表达明显降低。结论 RNAi 介导的 KDR 基因沉默可显著影响 PC-3 细胞裸鼠体内的瘤体生长速度, KDR 有可能成为肿瘤治疗的新靶点。

[关键词] 裸鼠; KDR; 前列腺癌; PC-3 细胞; RNA 干涉

[中图分类号] R392-33, R737.25 **[文献标志码]** A

KDR silencing suppresses the tumor growth of prostate cancer cell line PC-3 in nude mice

XIE Guoqi¹, YI Weiguo¹, LIU Xin¹, GUO Zhaojing², MIAO Yingye^{2*}¹Department of Medical Affairs; ²Department of Clinical Laboratory, Chinese PLA 152nd Hospital, Pingdingshan 467000, China

[Abstract] Objective To study the change in the tumor growth of prostate cancer cell line PC-3 in nude mice xenografts after kinase domain receptor (KDR) silencing by RNA interference. Methods A total of 15 5-week-old male nude mice were randomly divided into normal PC-3 cell group (negative control), RNA interference group and pSilencer3.1-NC group, with 5 mice in every group. The nude mice were respectively treated with subcutaneous injection of 0.5 mL ($2.0 \times 10^7/\text{mL}$) normal PC-3 cells, and the same volume of PC-3 cells transfected with pSilencer3.1-KDR and pSilencer3.1-NC vectors, respectively. By measuring the tumor volumes every 3 d and the tumor weights after 4 weeks, we recorded tumor formation rate, tumor growth rate and mean tumor weight. The expression of KDR at both mRNA and protein levels was detected by RT-PCR and Western blotting, respectively. Results Tumor growth was significantly slower in the pSilencer3.1-KDR group than in the negative control group and the pSilencer3.1-NC group. After 4 weeks, the mean volume of tumor in the pSilencer3.1-KDR group was significantly smaller than that in the other two groups (0.28 cm^3 vs 0.715 cm^3 and 0.721 cm^3 , $P < 0.01$), so was the mean weight of tumor (0.14 g vs 0.635 g and 0.648 g , $P < 0.01$). In addition, KDR mRNA and protein expressions significantly decreased. Conclusion The tumor growth in nude mice xenografts can be efficiently inhibited by KDR silencing mediated by RNAi, so the suppression of KDR expression might be a promising strategy for the treatment of human prostate cancer.

[Key words] nude mice; KDR; prostate cancer; PC-3 cells; RNA interference

血管内皮生长因子受体 II, 又称激酶功能区受体(vascular endothelial growth factor II, VEGFR2/kinase domain receptor, KDR), 其在血管内皮和部分肿

瘤细胞上特异性表达, 对于 VEGF 的信号转导及血管内皮生成起主导作用, 在肿瘤发生、发展中起重要的调节作用。研究表明, 人前列腺癌细胞中有 VEGF

收稿日期: 2012-11-02; 接受日期: 2012-11-15

基金项目: 国家自然科学基金(31172166, 81171367)

作者简介: 谢国旗(1967-), 男, 河南襄城人, 副主任医师, 硕士

Tel: 13849556306; E-mail: xiegq152@126.com

* Corresponding author, 缪应业, E-mail: myy7591@sina.com

和 KDR 表达, 存在 VEGF-KDR 自分泌途径, 与前列腺癌细胞的生长和转移密切相关^[1-2]。所以, 抑制 KDR 的表达, 可以在两个水平上抑制肿瘤生长。为了观察 RNA 干涉(RNA interference, RNAi)介导的 KDR 基因沉默对前列腺癌 PC-3 细胞裸鼠体内成瘤能力的影响, 本研究采用构建的 pSilencer3. 1-KDR 和阴性对照质粒 pSilencer3. 1-NC 转染 PC-3 细胞后, 将细胞接种于裸鼠皮下, 观察转染后的 PC-3 细胞在裸鼠体内成瘤能力的变化, 探讨 siRNA 对 KDR 基因特异性沉默及对瘤体增殖的抑制作用。

1 材料和方法

1.1 材料 去内毒素质粒提取试剂盒和 RT-PCR 试剂盒均购自 Promega 公司; 转染试剂 Lipofectamine™ 2000 为 Invitrogen 公司产品; 小鼠抗人 KDR 单克隆抗体(mAb)购自 RD 公司; 山羊抗小鼠二抗、DAB 显色液均购自武汉博士德公司; 小鼠抗人 GAPDH mAb 及辣根过氧化物酶标记的山羊抗小鼠 IgG 购自上海康成生物有限公司; PCR 引物 TaKaRa 生物有限公司合成; 前列腺癌 PC-3 细胞系购自中科院上海细胞所; SPF 级雄性 BALB/c 裸鼠, 5 周龄, 体质量 20~22 g, 购自上海斯莱克实验动物有限公司。

1.2 方法

1.2.1 KDR 特异性 shRNA 表达质粒 KDR 特异性 siRNA 表达质粒为本实验室构建的 pSilencer3. 1-KDR (KDR 序列为 AAGCGGCTAACCAAGTCCGGATA 位于 KDR 基因编码区 3906~3925), 重组质粒可有效的抑制 PC-3 细胞中 KDR 基因的表达^[3]。为了检测转染效率, 以含绿色荧光蛋白(GFP)报告基因的空真核表达质粒 pEGFPN2 同步转染 PC-3 细胞, 转染 24 h 后荧光倒置显微镜下观察转染效率。阴性对照质粒 pSilencer3. 1-H1 neo (negative control, pSilencer3. 1-NC), 由 Ambion 公司提供, 含有与任何已知序列不同源的 shRNA 编码序列。

1.2.2 重组质粒转染 PC-3 细胞 生长于 250 mL 培养瓶中密度为 90% 的 PC-3 细胞 15 瓶, 分为 3 组, 每组 5 瓶, 按说明书方法分别转染 pSilencer3. 1-KDR 重组质粒和阴性对照质粒 pSilencer3. 1-NC, 剩余 1 组为未转染对照组, 质粒用量为 12 μg, 脂质体用量为 30 μL。

1.2.3 裸鼠实验分组 15 只雄性 BALB/c 裸鼠, 5 周龄, 体质量 20~22 g, 随机分为 3 组, 每组 5 只, 分别为 pSilencer3. 1-KDR 重组质粒和 pSilencer3. 1-NC 阴性对照质粒转染组及未转染对照组。

1.2.4 转染后 PC-3 细胞接种裸鼠 转染后 24 h, 经荧光倒置显微镜下观察 pEGFPN2 质粒同步转染的 PC3 细胞, 结果显示, 此次转染的效率约为 65%。转染后 48 h, 消化各组 PC-3 细胞, 调节细胞密度为 $2.0 \times 10^7/\text{mL}$, 充分混匀后, 每只裸鼠右后肢皮下接种细胞悬液 0.5 mL。

1.2.5 肿瘤体积变化和瘤质量 各组荷瘤裸鼠肿瘤体积变

化: 每隔 3 d 用游标卡尺测量各组裸鼠瘤体长(a)、宽(b)、高(c), 按下式计算瘤体积(V)。瘤体积 $V = (\pi/6)(abc)$, 各组取平均值, 绘制裸鼠肿瘤体积变化图。30 d 后, 处死小鼠剖取组织, 称量瘤体质量。

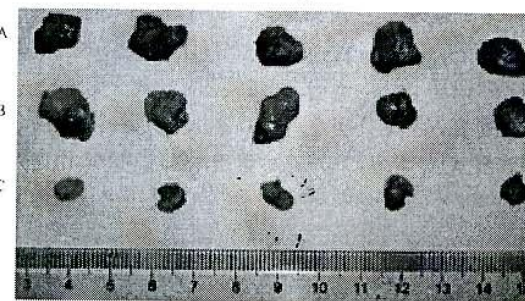
1.2.6 RT-PCR 检测 KDR mRNA 表达水平的变化 提取总 RNA 并定量, 用 DNA 酶 I 处理总 RNA 以去除 DNA 污染, 取等量的 RNA 反转录后进行 PCR。pSilencer3. 1-KDR 位点 PCR 引物正义链: 5'-ACGGACAGTGGTATGGTT-3', 反义链: 5'-CGAGTCAGGCTGGAGAAT-3', 产物长度 279 bp。内参照 β-肌动蛋白 PCR 引物正义链: 5'-GCTCGTCGTCGACAACGGCTC-3', 反义链: 5'-CAAACATGATCTGGGTATCTTCTC-3', 产物长度 353 bp。PCR 产物经琼脂糖电泳后于 FR200 图像分析系统分析。以待检基因条带与内参条带 β-肌动蛋白的积分光密度比值作为目的基因的相对表达量。RT-PCR 产物比值 = KDR mRNA 灰度值/内参照 mRNA 灰度值。

1.2.7 Western blot 检测 KDR 蛋白表达水平 分别对 3 组的肿瘤组织进行蛋白提取, 调整蛋白浓度至相同水平进行 SDS-PAGE 电泳, 转膜、封闭; 小鼠抗人 KDR(1:1 000), 小鼠抗人 GAPDH(1:1 000), 4℃ 过夜, 加辣根过氧化物酶标记的山羊抗小鼠 IgG(1:1 000)室温孵育 1 h; 洗涤、DAB 显色 30 min。图像扫描分析, Western blot 产物比值 = KDR 蛋白灰度值/GAPDH 内参照灰度值。

1.2.8 统计学分析 实验数据使用 $\bar{x} \pm s$ 表示, 采用 SPSS10.0 统计分析软件, 各实验组数据进行方差分析, 试验组间的多重比较使用 SNK-q 检验, 检验水准以 $P < 0.05$ 为差异有统计学意义。

2 结果

2.1 各组裸鼠的瘤质量比较 三组裸鼠的成瘤率都为 100%; pSilencer3. 1-KDR 质粒转染组的平均瘤质量为 0.140 g, pSilencer3. 1-NC 转染组平均瘤质量为 0.635 g, 未转染组为 0.648 g, pSilencer3. 1-KDR 质粒转染组平均瘤质量明显低于两对照组($P < 0.01$)。两对照组间无显著性差异($P > 0.05$, 图 1、2)。



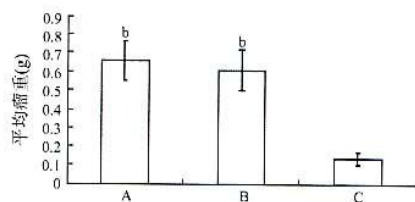
A: 未转染组; B: pSilencer3. 1-NC; C: pSilencer3. 1-KDR.

图 1 各组裸鼠的肿瘤大小

2.2 各组裸鼠的肿瘤体积生长变化

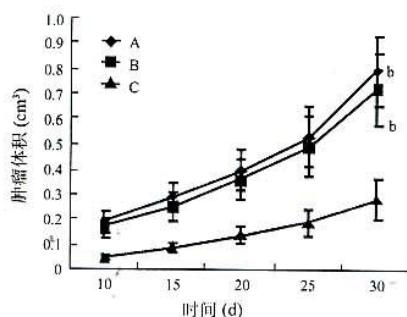
pSilencer3. 1-

KDR 质粒转染组的肿瘤生长速度明显慢于未转染组和 pSilencer3.1-NC 质粒转染组, 而未转染组和 pSilencer3.1-C 质粒转染组比较则无明显差别(图3)。实验结束时, pSilencer3.1-KDR 质粒转染组肿瘤平均体积为 0.28 cm^3 , 未转染组和 pSilencer3.1-NC 质粒转染组的肿瘤平均体积分别为 0.721 cm^3 和 0.715 cm^3 , pSilencer3.1-KDR 质粒转染组平均体积明显低于两对照组($P < 0.01$), 两对照组间无显著性差异($P > 0.05$)。



A: 未转染组; B: pSilencer3.1-NC; C: pSilencer3.1-KDR. ^b $P < 0.01$ vs pSilencer3.1-KDR.

图2 各组裸鼠平均瘤质量

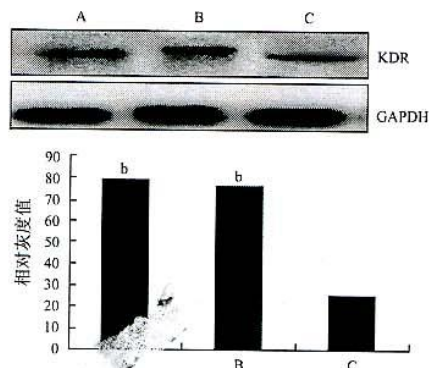


A: 未转染组; B: pSilencer3.1-NC; C: pSilencer3.1-KDR. ^b $P < 0.01$ vs pSilencer3.1-KDR.

图3 各组裸鼠的肿瘤生长曲线

2.3 KDR mRNA 在裸鼠肿瘤组织中的表达 pSilencer3.1-KDR 质粒转染组、未转染组和 pSilencer3.1-NC 质粒转染组 KDR mRNA 相对表达值分别为 (31.6 ± 2.3) 、 (89.6 ± 2.1) 、 (86.9 ± 2.5) , 与两对照组相比, pSilencer3.1-KDR 质粒转染组 KDR mRNA 表达明显减少($P < 0.01$), 两对照组间差异无统计学意义($P > 0.05$)。

2.4 KDR 蛋白在裸鼠肿瘤组织中的表达 KDR 蛋白在 pSilencer3.1-KDR 质粒转染组、未转染组和 pSilencer3.1-NC 质粒转染组相对值分别为 (24.6 ± 3.6) 、 (78.4 ± 4.1) 、 (75.9 ± 3.9) , 与两对照组相比, pSilencer3.1-KDR 质粒转染组 KDR 蛋白表达明显减少($P < 0.01$), 两对照组间差异无统计学意义($P > 0.05$, 图4)。



A: 未转染组; B: pSilencer3.1-NC; C: pSilencer3.1-KDR. ^b $P < 0.01$ vs pSilencer3.1-KDR.

图4 Western blot 检测裸鼠肿瘤组织中 KDR 蛋白表达

3 讨论

VEGF 与其受体在肿瘤血管形成中起着关键的调节作用^[4-5], 能刺激血管内皮细胞分裂、增殖, 诱导血管生成, 有助于肿瘤的生长和转移。VEGFR 家族的成员包括: VEGFR1(Flt-1)、VEGFR2(KDR/Flk-1)、VEGFR3(Flt-4), KDR 是发挥功能的主要受体^[6], KDR 不仅表达于肿瘤组织的血管内皮细胞而且表达于肿瘤细胞的胞膜和(或)胞质, 提示肿瘤细胞分泌的 VEGF 不仅以旁分泌方式作用于血管内皮细胞并诱导血管新生, 也可通过自分泌途径与自身表面的受体结合而促进细胞生长或迁移、抑制细胞凋亡。张晓静等^[7]用化学修饰的 siRNA 介导的 RNAi 在体内外成功抑制 KDR 靶基因的表达和乳腺癌细胞 MCF-7 增殖, 裸鼠体内实验显示 siRNA 治疗组肿瘤组织的增长受到明显抑制; Huang 等^[8]用 Pj-8(苯并咪唑衍生物)通过封闭 VEGF 和 KDR 的磷酸化, 在体外可有效抑制 HUVECs 增殖、迁移和血管的形成, 在体内有效抑制 MDA-MB-231 细胞移植瘤的血管生成; Venkatraman Manickam 等^[9]通过 RNA 干扰高尔基体上的突触融合蛋白 6 来抑制 KDR 的表达, 从而降低 VEGF 诱导的细胞增殖和迁移, 并在鼠耳血管模型中, 通过抑制突触融合蛋白 6 的表达, 显著地降低 VEGF 诱导的新生血管的形成。以上研究表明阻断 VEGF 与 KDR 的相互作用就能抑制血管的形成、可能具有抑制肿瘤生长的作用。

在体外实验的基础上, 通过建立 PC-3 裸鼠肿瘤模型, 来观察 siRNA 表达载体 pSilencer3.1-KDR 体内的抗瘤活性。把瞬时转染各组 siRNA 表达载体 pSilencer3.1-KDR 的 PC-3 细胞接种于裸鼠的右后肢皮下, 观察肿瘤的生长情况。结果发现: pSilencer3.1-KDR 与其余各组相比, 肿瘤的生长受到明显抑制, 瘤体较

(下转 160 页)